

УДК 539.2, 537.635, 537.638.2

ДИНАМИКА СИСТЕМЫ ЯДЕРНЫХ СПИНОВ С РАВНЫМИ КОНСТАНТАМИ СПИН-СПИНОВЫХ ВЗАИМОДЕЙСТВИЙ

© 2011 г. А. А. Хамзин^{1,2}, А. С. Ситдииков¹, А. С. Никитин¹

E-mail: airat.khamzin@rambler.ru

Рассматривается динамика взаимодействующей системы ядерных спинов, находящихся в наноконтейнере. Сформулирована точно решаемая модель для описания динамики рассматриваемой системы. Найдены выражения для спада свободной индукции и формы линии ЯМР, справедливые для низких температур. Обсуждается возможность сопоставления теоретических расчетов с данными эксперимента для контроля нанополостей в материалах и исследования упорядоченных спиновых структур.

ВВЕДЕНИЕ

В последнее десятилетие резко усилился интерес к изучению материалов с порами нанометрового масштаба, что вызвано двумя обстоятельствами. Во-первых, синтез материалов с порами размером несколько нанометров является частью нанотехнологических проектов наряду с синтезом наночастиц. Лабораторные исследования, направленные на получение однородных пор, обусловлены зависимостью свойств пористого материала от размеров, формы и распределения пор по размерам [1]. Например, материалы с упорядоченными порами в виде нанотрубок (цеолиты, клевриты, алюмосиликаты и т.д.) с постоянным сечением отверстия трубки служат молекулярными ситами для разделения смеси молекул газов по их размерам. Цеолитовые микроконтейнеры используются в качестве оболочки молекул красителя для лазеров на красителях, в качестве емкостей газов, электролитов, контейнеров носителей токсичных молекул контрастного вещества для магниторезонансной томографии и т.д. Во всех случаях наноконтейнеры влияют на функци-

онирование всей системы контейнер + начинка. Во-вторых, достижения в области нанотехнологий привели к появлению спиновой физики наноструктур и, в частности, ЯМР-спектроскопии газов в нанополостях. Высокая разрешающая способность спектров ЯМР и, как будет показано ниже, возможность точного аналитического описания формы линии ЯМР газов с молекулами, несущими ядерные спины в нанополостях, позволяют из экспериментальных данных получать информацию о структуре и динамике исследуемых наноконтейнеров, а также о возможном упорядочении ядерных спинов в них [2].

1. ФОРМУЛИРОВКА МОДЕЛИ

Рассмотрим систему из N взаимодействующих частиц, несущих ядерный спин $1/2$, заключенных в некоторый конечный объем V (наноконтейнер). Гамильтониан рассматриваемой системы, который зависит от времени, запишем в традиционной форме Гейзенберга

$$H(t) = -\omega \sum_{f=1}^N I_f^z - \frac{1}{2} \sum_{f,g=1}^N \left(\frac{1}{2} U_{f,g}^{+-}(t) (I_f^+ I_g^- + I_f^- I_g^+) + U_{f,g}^{zz}(t) I_f^z I_g^z \right), \quad (1)$$

где I_f^α ($\alpha = x, y, z$), $I_f^\pm = I_f^x \pm i I_f^y$ — компоненты оператора ядерного спина, $U_{f,g}^{\alpha\beta}(t)$ — компоненты зависящего от времени потенциала двухчастичного спин-спинового взаимодействия (ССВ); ω — зеемановская частота ядерных спинов в магнитном поле B ($\omega = \gamma B$), направленном вдоль оси z . Под действием конкретных физических факто-

ров потенциал взаимодействия изменяется как по величине, так и по знаку в течение характерного времени τ_1 . Естественно, что в рассматриваемой системе существует другой масштаб времени — характерное время переворота намагниченности спина частицы вследствие взаимодействия с ближайшим соседним спином (совпадающего со временем флип-флоп-переходов), τ_2 . Если в системе реализуется ситуация $\tau_1 \ll \tau_2$, то ССВ частиц системы будет определяться не их мгновенным расположением, а усредненным распределением ча-

¹ Казанский государственный энергетический университет.

² Казанский (Приволжский) федеральный университет.

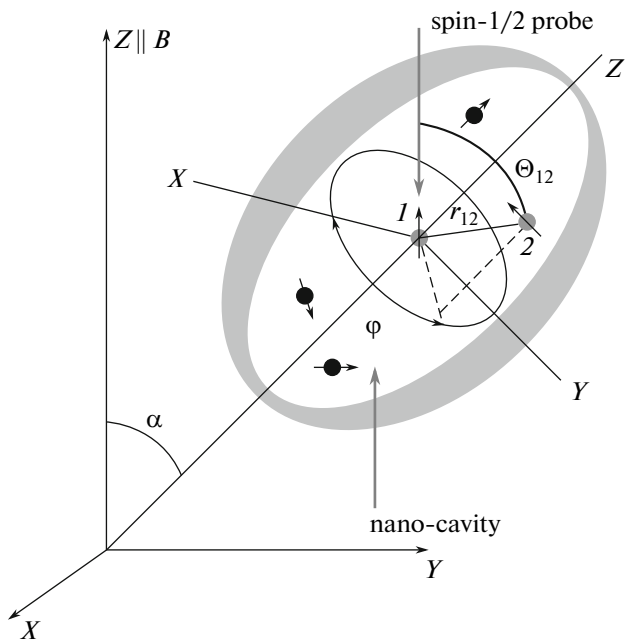


Рис. 1. Нанополость, заполненная спин-несущими молекулами, совершающими быстрое тепловое движение во внешнем магнитном поле.

стиц. Наличие в системе малого адиабатического параметра $\varepsilon = \tau_1/\tau_2 \ll 1$ позволяет определить усредненный спиновый гамильтониан, управляющий поведением спинов на интервале времени Δt , подчиняющемся условию: $\tau_1 \ll \Delta t \ll \tau_2$. Усредняя точный гамильтониан H по времени Δt в нулевом порядке по параметру ε , получим средний (эффективный) гамильтониан

$$\begin{aligned} \bar{H} = & -\omega \sum_{f=1}^N I_f^z - \\ & - \frac{1}{2} \sum_{f,g=1}^N \left(\frac{1}{2} \overline{U_{f,g}^{+-}} (I_f^+ I_g^- + I_f^- I_g^+) + \overline{U_{f,g}^{zz}} I_f^z I_g^z \right), \quad (2) \\ \overline{U_{f,g}^{\alpha\beta}} = & \frac{1}{\Delta t} \int_0^{\Delta t} U_{f,g}^{\alpha\beta}(r_f(t'), r_g(t')) dt', \end{aligned}$$

с точностью $O(\varepsilon)$. Следующий решающий шаг состоит в замене интегрирования по времени на интегрирование по пространственным координатам в ограниченном объеме конфигурационного пространства. Эквивалентность временного и пространственного усреднений опирается на эргодическую гипотезу

$$\delta t (dr^N, dp^N) / t = Q^{-1} \exp(-E/T) dr^N dp^N, \quad (3)$$

где введенная система обозначений предполагает, что рассматриваемая точка, лежащая в фазовом пространстве $r^N - p^N$, при движении во времен-

ном интервале t ($\tau_1 \ll t \ll \tau_2$), тратит только часть $Q^{-1} \exp(-E/T) dr^N dp^N$ полного времени t в объеме $dr^N dp^N$, E – полная энергия, T – температура в энергетических единицах, Q – статистический интеграл. Введем в рассмотрение равновесную парную функцию распределения для частиц 1 и 2

$$D_2(r_1, r_2) = \frac{\int d^3 r_3 \dots \int d^3 r_N \exp(-U(r^N)/T)}{\int d^3 r_1 \dots \int d^3 r_N \exp(-U(r^N)/T)}, \quad (4)$$

где $U(r^N)$ обозначает межчастичные электростатические взаимодействия. Принимая во внимание условие эргодичности (3), найдем, что поведение спиновых степеней свободы на временном масштабе Δt определяется статическим эффективным гамильтонианом

$$\begin{aligned} \bar{H} = & -\omega \sum_f I_f^z - \frac{A_{\parallel}}{2} \sum_{f,g} I_f^z I_g^z - \frac{A_{\perp}}{4} \sum_{f,g} (I_f^+ I_g^- + I_f^- I_g^+) = \\ = & -\omega I^z - \frac{1}{2} (A_{\parallel} - A_{\perp}) (I^z)^2 - \frac{A_{\perp}}{2} I^2 + \frac{N}{8} (A_{\parallel} + 2A_{\perp}), \end{aligned} \quad (5)$$

где пространственно независимые константы парных взаимодействий A_{\parallel} и A_{\perp} для любой пары спинов f и g определяются выражениями

$$\begin{aligned} A_{\parallel} = & \int_V \int_V U_{f,g}^{zz}(r_f, r_g) D_2(r_f, r_g) d^3 r_f d^3 r_g, \\ A_{\perp} = & \int_V \int_V U_{f,g}^{+-}(r_f, r_g) D_2(r_f, r_g) d^3 r_f d^3 r_g, \end{aligned} \quad (6)$$

$I^z = \sum_{f=1}^N I_f^z$, $I^{\pm} = \sum_{f=1}^N I_f^{\pm}$ – компоненты полного спина \vec{I} , I^2 – квадрат величины полного спина, который определяется выражением: $I^2 = (I^+ I^- + I^- I^+) / 2 + (I^z)^2$.

В качестве примера спиновой многочастичной системы, в которой реализуется описанный выше механизм усреднения спин-спиновых взаимодействий, рассмотрим систему спин-несущих молекул газа в нанополости [3, 4]. Действительно, пусть рассматривается нанополость, заполненная газом с N спин-несущими молекулами (спин равен $1/2$) во внешнем магнитном поле $B \parallel Z$, где Z – одна из координатных осей (см. рис. 1). Зависящий от времени точный дипольный гамильтониан данной системы может быть записан в виде [4]

$$\begin{aligned} H(t) = & \omega \sum_{n=1}^N I_{nz} + \sum_{1 \leq i < j \leq N} h_{i,j}(t), \\ h_{i,j}(t) = & \gamma^2 \hbar P_2(\cos \theta_{ij}(t)) r_{ij}^{-3} (\vec{I}_i \vec{I}_j - 3I_i^z I_j^z), \end{aligned} \quad (7)$$

где θ_{ij} – полярный угол между вектором \vec{r}_{ij} и внешним магнитным полем B , $P_2(x)$ – полином Лежандра. В рассматриваемой системе действи-

тельно существуют два сильно различающихся масштаба времени: характерное время пролета спин-несущей молекулы газа между двумя последовательными соударениями со стенкой нанополости, $\tau_1 \approx 10^{-11}$ с и характерное время переворота намагниченности спина выделенного ядра из-за его дипольного взаимодействия с ближайшим соседним спином, $\tau_2 \approx 10^{-4}$ с, $\tau_2 \gg \tau_1$. Это неравенство означает, что в течение времени τ_2 выделенное ядро успевает пролететь между стенками нанополости $\tau_2/\tau_1 = 10^7$ раз (существует малый адиабатический параметр $\varepsilon = 10^{-7} \ll 1$) и, следовательно, диполь-дипольное взаимодействие (ДДВ) выделенного ядра с соседним ядром определяется не мгновенным расположением, а усредненным распределением ядер по всему объему нанополости. Проводя усреднение точного гамильтониана (7) по алгоритму, описанному выше, приходим к эффективному гамильтониану [4]

$$\begin{aligned} \bar{H} &= \omega I_z + D((\zeta + 1)I_z^2 - I^2)/2, \\ D &= \gamma^2 2\pi\hbar P_2(\cos\alpha)F/V, \end{aligned} \quad (8)$$

где угол α обозначает ориентацию главной оси эллипсоидальной полости по отношению к внешнему полю B (см. рис. 1), V – объем полости, F – формфактор, который является монотонной функцией отношения главных осей эллипсоидальной полости a/b [4], ζ – произвольный параметр. Таким образом, ДДВ ядерных спинов в спин-несущих молекулах газа в несферических нанопорах также усредняются (за счет быстрой молекулярной диффузии), но не полностью (пространственный конфайнмент). Остаточные (усредненные) ДДВ описываются одной и той же константой для всех пар ядерных спинов. В результате появляется возможность находить точные решения в задачах о переносе поляризации в спиновой системе в нанопоре [4, 5] и форме линии ЯМР [6].

Модель, определяемая гамильтонианом (5), получила название модели равных спин-спиновых взаимодействий (РССВ) [7]. Переход к гамильтониану (5) значительно упрощает анализ термодинамических [8] и магнитных [9] свойств конечных спиновых систем. Основное достоинство этой модели – возможность получения точного решения для динамики многоспиновой системы при любом N [4, 5, 7] и точного аналитического описания формы линии ЯМР [6].

2. ТОЧНЫЕ РЕШЕНИЯ ДЛЯ ДИНАМИКИ МОДЕЛИ

Перейдем в представление Гейзенберга и запишем уравнения движения для компонент оператора спина

$$\begin{aligned} \frac{dI_f^\pm}{dt} &= i[\bar{H}, I_f^\pm] = \\ &= \mp i(\omega + A_\parallel I^z - (A_\parallel + A_\perp)/2)I_f^\pm \pm iA_\perp I^\pm I_f^z, \\ \frac{dI_f^z}{dt} &= i[\bar{H}, I_f^z] = \\ &= i(A_\perp/2)(I^- I_f^+ - I^+ I_f^-) + iA_\perp I_f^z. \end{aligned} \quad (9)$$

Просуммировав уравнения (9) по узлу f , найдем уравнения движения для компонент полного спина

$$\begin{aligned} \frac{dI^\pm}{dt} &= \mp i(\omega + (A_\parallel - A_\perp)(I^z \mp 1/2))I^\pm, \\ \frac{dI^z}{dt} &= 0. \end{aligned} \quad (10)$$

Уравнения (10) легко интегрируются, и мы получаем следующие временные зависимости компонент оператора полного спина

$$\begin{aligned} I^\pm(t) &= \exp(\mp i(\omega + (A_\parallel - A_\perp)(I^z \mp 1/2))t)I^\pm, \\ I^z(t) &= I^z. \end{aligned} \quad (11)$$

Интересно также найти временные зависимости операторов $I_f^{\pm,z}(t)$. Для этого необходимо решить дифференциальные уравнения (9), что является нетривиальной задачей [9]. Производя последовательные дифференцирования уравнений (9) по времени, нетрудно показать, что система (9) преобразуется к трем независимым и интегрируемым уравнениям:

$$\begin{aligned} \frac{d^3 I_f^z}{dt^3} - iA_\perp \frac{d^2 I_f^z}{dt^2} + A_\perp^2 I^2 \frac{dI_f^z}{dt} &= 0, \\ \frac{d^3 I_f^\pm}{dt^3} \pm i(3\theta_\pm - A_\perp) \frac{d^2 I_f^\pm}{dt^2} + (A_\perp^2 I^2 - \theta_\pm(3\theta_\pm - 2A_\perp)) \times &(12) \\ \times \frac{dI_f^\pm}{dt} \pm i\theta_\pm (A_\perp^2 I^2 - \theta_\pm(\theta_\pm - A_\perp)) I_f^\pm &= 0, \end{aligned}$$

где $\theta_\pm = \omega + (A_\parallel - A_\perp)(I^z \mp 1/2)$. Примечательно то, что коэффициенты полученных уравнений являются интегралами движения, поэтому интегрирование уравнений приводит к искомым решениям:

$$\begin{aligned} I_f^z(t) &= \Phi_1(I^2, t)K_z + \Phi_2(I^2, t)L_z + I_f^z, \\ I_f^\pm(t) &= \exp(-i\theta_\pm t) \{ \Phi_1(I^2, t)K_\pm + \Phi_2(I^2, t)L_\pm + I_f^\pm \}, \\ \Phi_1(I^2, t) &= \\ &= \frac{\exp(iA_\perp t/2)(i \sin(A_\perp \Omega t) - 2\Omega \cos(A_\perp \Omega t)) + 2\Omega}{2I^2 \Omega}, \\ \Phi_2(I^2, t) &= \frac{i \exp(iA_\perp t/2) \sin(A_\perp \Omega t)}{\Omega}, \end{aligned} \quad (13)$$

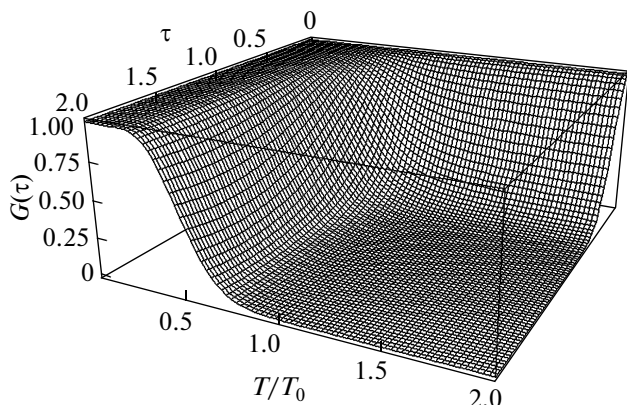


Рис. 2. Зависимость спада свободной индукции от времени и температуры в случае легкоосной анизотропии ($\delta > 0$).

$$\begin{aligned} K_z &= I^z (I^+ I_f^- + I^- I_f^+) / 2 - (I^2 - (I^z)^2) I_f^z, \\ L_z &= I_f^z + (I^- I_f^+ - I^+ I_f^-) / 2, \\ K_+ &= I^+ (I^+ I_f^- + I^- I_f^+) / 2 + (I^z - 1) I^+ I_f^z - I^2 I_f^+, \\ L_+ &= I^+ I_f^z - (I^z - 1) I_f^+, \quad \Omega = \sqrt{1/4 + I^2}. \end{aligned} \quad (14)$$

$$R(t) = \sum_{s=s_{min}}^{N/2} g(N, s) \exp\left(\frac{1}{2} \beta A_{\perp} s(s+1)\right) \sum_{m=-s}^s (s+m)(s-m+1) \exp\left(\text{sgn}(\delta) 2i\tau \left(\frac{1}{2} - m\right) + \frac{1}{2} \beta A_{\perp} \delta m^2\right), \quad (16)$$

где фактор $g(N, s) = \frac{2s+1}{N+1} \binom{N+1}{N/2-s}$ определяет число способов группировки N спинов $1/2$ в полный спин s , $\tau = t|\delta|A_{\perp}/2$, $A_{\perp} > 0$. Анализ суммы (16) при низких температурах приводит к следующему выражению для $R(t)$:

$$\begin{aligned} R(t) &= N 2^{N-1} \sqrt{\frac{T}{2\pi A_{\perp} |\delta|}} \exp\left(\frac{A_{\perp} N(N+2)}{8T}\right) \tilde{R}(\tau), \\ \tilde{R}(\tau) &= \int_{-\infty}^{\infty} \exp\left(-\frac{T x^2}{2A_{\perp} |\delta|} - i\varepsilon \frac{x}{2}\right) \left(\cos \frac{x}{2}\right)^{N-1} dx, \end{aligned} \quad (17)$$

где $z = \varepsilon x \mp 2\tau$, $\varepsilon = \begin{cases} 1 \\ i \end{cases}$ (верхний знак выбирается при $\delta < 0$, а нижний – при $\delta > 0$). Осуществляя асимптотическую оценку интеграла $\tilde{R}(\tau)$ в (17) при $N \gg 1$ по методу Лапласа [12], для случая анизотропии “легкая плоскость” ($\delta < 0$) при $\tau \ll 1$ получим

3. СПАД СВОБОДНОЙ ИНДУКЦИИ И ФОРМА ЛИНИИ ЯМР

Форма линии ЯМР определяется как фурье-преобразование спада свободной индукции (ССИ), который при конечных температурах определяется как нормированная корреляционная функция вида [10, 11]: $G(t) = \langle I^+(t) I^- \rangle / \langle I^+ I^- \rangle$, где $\langle \dots \rangle = \text{Sp}(\dots \exp[-\beta \bar{H}]) / \text{Sp}(\exp[-\beta \bar{H}])$ означает термодинамическое усреднение по равновесному статистическому ансамблю, $\beta = 1/T$, а временная зависимость оператора $I^+(t)$ определяется (11). Для расчета ССИ $G(t)$ представим его в виде $G(t) = R(t)/R(0)$, где $R(t) = \text{Sp}(I^+(t) I^- \exp[-\beta \bar{H}])$. Поскольку собственные значения гамильтониана (5) известны

$$\begin{aligned} E_{ms} &= -\omega m - A_{\perp} \delta m^2 / 2 - \\ &- A_{\perp} s(s+1) / 2 + N A_{\perp} (3 + \delta) / 8, \end{aligned} \quad (15)$$

где $s = s_{min}, \dots, N/2$ ($s_{min} = 1/2$ для нечетного количества частиц N и $s_{min} = 0$ для четного количества частиц N в системе), $m = -s, \dots, s$, $\delta = A_{\parallel}/A_{\perp} - 1$ – параметр анизотропии ($\delta < 0$ – анизотропия “легкая плоскость”, $\delta > 0$ – анизотропия “легкая ось”), функция $R(t)$ выражается в виде

$$\begin{aligned} G(t) &\approx \frac{1}{\sqrt{1 + \tau^2 (T_0/T) / (1 + T_0/T)^3}} \times \\ &\times \exp\left(-\frac{N}{2} \frac{\tau^2}{1 + T_0/T}\right), \end{aligned} \quad (18)$$

где $T_0 = N A_{\perp} |\delta| / 4$. В случае же анизотропии типа “легкая ось” ($\delta > 0$) при $\tau \ll 1$ получим

$$G(t) \approx \begin{cases} \frac{1}{\sqrt{1 - \tau^2 / (T/T_0 - 1)}} \exp\left(-\frac{N}{2} \tau^2\right), & T > T_0(1 + \tau^2), \\ \frac{1}{\sqrt{1 + \tau^2 / \kappa^2}} \exp\left(-\frac{N}{2} (1 - 3\kappa^2) \tau^2\right), & T \leq T_0(1 + \tau^2), \end{cases} \quad (19)$$

где $\kappa = \sqrt{1 - T/T_0}$. Из формулы (19) можно видеть, что при $T \rightarrow T_0 - 0$ происходит замедление ССИ

$$G(t) \approx \frac{1}{\sqrt{1 + \tau^2 / \kappa^2}} \exp(-N\tau^2/2) \leq \frac{1}{\sqrt{1 + \tau^2 / \kappa^2}}, \quad (20)$$

что, очевидно, связано с возникновением в рассматриваемой спиновой системе комплексов с долгоживущими поляризациями [8]. На рис. 2 приведен график зависимости ССИ от времени и температуры при $\delta > 0$, из которого отчетливо

видно, как осуществляется переход при $T = T_0$ от быстрого гауссовского спада $G(t)$ к более медленному степенному ($\sim 1/t$).

Форма линии ЯМР $J(\omega) = (2\pi)^{-1} \int_{-\infty}^{\infty} G(t)e^{i\omega t} dt$ при $\delta < 0$ имеет гауссову форму $J(\omega) \approx (v\sqrt{\pi\alpha})^{-1} \times \exp(-\omega^2/(v^2\alpha))$, где $\alpha = 1$ при $T \gg T_0$ и $\alpha = T/T_0$ при $T \ll T_0$, $v = \sqrt{N/2}|\delta|A_{\perp}$. В случае $\delta > 0$ при $T \gg T_0$ также имеем гауссову форму линии $J(\omega) \approx (v\sqrt{\pi})^{-1} \exp(-\omega^2/v^2)$. Интересная ситуация возникает, когда попадаем в область температур $T \leq T_0$, где форма линии вблизи температуры T_0 принимает вид

$$J(\omega) \approx \frac{1}{\pi} \int_0^{\infty} \frac{\cos \omega t}{\sqrt{1 + \frac{\delta^2 A_{\perp}^2 t^2}{4\kappa^2}}} dt = \frac{2\kappa}{\pi|\delta|A_{\perp}} K_0\left(\frac{2\kappa\omega}{|\delta|A_{\perp}}\right) = \begin{cases} \frac{2\kappa}{|\delta|A_{\perp}} \left(\ln\left(\frac{|\delta|A_{\perp}}{2\kappa\omega}\right) + O(\omega) \right), & \omega \rightarrow 0, \\ \frac{\sqrt{\kappa}}{\sqrt{\pi|\delta|A_{\perp}}} \frac{1}{\sqrt{\omega}} e^{-\frac{2\kappa\omega}{|\delta|A_{\perp}}}, & \omega \rightarrow \infty. \end{cases} \quad (21)$$

Таким образом, вблизи температуры T_0 форма линии ЯМР содержит логарифмическую сингулярность при $\omega \rightarrow 0$ и экспоненциальный спад на концах. Этот функциональный вид формы линии отличается от традиционных гауссовских или лоренцевских кривых в теории неоднородного уширения [13]. На рис. 3 показана зависимость формы линии спиновой системы от частоты и температуры при $\delta > 0$, которая отчетливо демонстрирует появление сингулярности при $T = T_0$.

Обсудим ситуацию, когда имеется статический ансамбль независимых наноконтейнеров с распределением (из-за разброса форм и размеров статических систем) констант спин-спиновой связи A_{\perp} по гауссовскому закону:

$$W(A_{\perp}) = \left(2\pi\langle(\delta A_{\perp})^2\rangle\right)^{-1/2} \exp\left(-\frac{(A_{\perp} - \langle A \rangle)^2}{2\langle(\delta A_{\perp})^2\rangle}\right). \quad (22)$$

Тогда полный ССИ определится выражением: $\bar{G}(t) = \int W(A_{\perp})G(A_{\perp}, t)dA_{\perp}$. При высоких температурах ($T \gg T_0$) ССИ $G(A_{\perp}, t)$ приближенно можно представить в виде $G(A_{\perp}, t) = \exp(-\left(N\delta^2 A_{\perp}^2/8\right)t^2)$, поэтому усредненный ССИ принимает вид

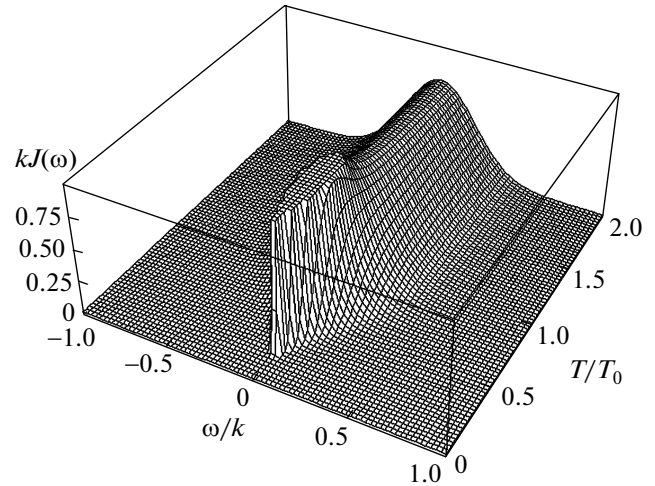


Рис. 3. Зависимость формы линии ЯМР от частоты и температуры при легкоосной анизотропии, $k = A_{\perp}\delta/2$.

$$\bar{G}(t) = \frac{1}{\sqrt{1 + N\delta^2\langle(\delta A_{\perp})^2\rangle t^2/4}} \times \exp\left(-\frac{1}{81 + N\delta^2\langle(\delta A_{\perp})^2\rangle t^2/4}\right). \quad (23)$$

В ситуации, когда $N\delta^2\langle(\delta A_{\perp})^2\rangle t^2/4 \gg 1$ осредненный ССИ (23) имеет более слабый спад, аналогичный тому, что мы имели ниже температуры T_0 при легкоосной анизотропии

$$\bar{G}(t) \approx \frac{1}{\sqrt{1 + \alpha v^2 t^2/2}} \exp(-1/(2\alpha)), \quad (24)$$

где $\alpha = \langle(\delta A_{\perp})^2\rangle/\langle A_{\perp}\rangle^2$, $v = \sqrt{N/2}|\delta|A_{\perp}$. Форма линии в данной ситуации имеет следующее выражение:

$$J(\omega) = \frac{e^{-\frac{1}{2\alpha}}}{\pi} \int_0^{\infty} \frac{\cos \omega t dt}{\sqrt{1 + \alpha v^2 t^2/2}} = \frac{e^{-\frac{1}{2\alpha}}}{\pi v \sqrt{\alpha}} K_0\left(\frac{\omega}{v\sqrt{\alpha}}\right) = \begin{cases} \frac{e^{-1/2\alpha}}{\pi v \sqrt{\alpha}} \left(\ln\left(\frac{v\sqrt{\alpha}}{\omega}\right) + O(\omega) \right), & \omega \rightarrow 0, \\ \frac{e^{-1/2\alpha}}{\sqrt{2\pi v \sqrt{\alpha}}} \frac{1}{\sqrt{\omega}} e^{-\frac{\omega}{v\sqrt{\alpha}}}, & \omega \rightarrow \infty. \end{cases} \quad (25)$$

Таким образом, при учете флуктуаций объема наносистемы форма линии при высоких температурах также содержит логарифмическую сингулярность при $\omega \rightarrow 0$ и экспоненциальный спад на хвостах. Качественный смысл медленного ($\sim 1/t$) спада полного ССИ (24) на больших временах объясняется долгоживущими поляризациями в конечной системе ядерных спинов, в которых ССВ, осредненное по масштабу времени Δt , отсутствует, $A_{\perp} \approx 0$, и, следовательно, в них ССИ

$G(A_{\perp}, t) \approx 1$. Системы с константой $A_{\perp} \approx 0$ определенно ориентированы по отношению к внешнему магнитному полю, так называемые “магические” системы. Для приведенного примера газа спин-несущих молекул в нанополости по формуле (8) получим, что полости с $D \approx 0$ ориентированы к внешнему полю B под магическим углом $\theta_0 = \arccos(1/\sqrt{3}) \approx 55^\circ$. “Магические” системы с константой связи $A_{\perp} \approx 0$ составляют всего $W(A_{\perp} = 0) = (2\pi \langle (\delta A_{\perp})^2 \rangle)^{-1/2} \exp(-1/2\alpha)$ часть полного числа наноконтейнеров, т.е. являются флуктуационными по отношению к наиболее вероятной части полостей, $W(A_{\perp} = \langle A_{\perp} \rangle) = (2\pi \langle (\delta A_{\perp})^2 \rangle)^{-1/2}$. Именно флуктуационные полости с долгоживущими поляризациями и определяют замедление $\approx 1/t$ полного ССИ по сравнению с более быстрым гауссовским спадом ССИ. Поскольку логарифмическая сингулярность формируется только “магическими” полостями с определенной ориентацией, такое сингулярное поведение формы линии служит рецептом для нахождения карты угловых распределений различных эллипсоидальных полостей.

ЗАКЛЮЧЕНИЕ

В заключение перечислим основные выводы.

1) Если в системе ядерных спинов, заключенных в потенциальную яму (нанополость) имеется малый адиабатический параметр, который определяется тем, что молекулы несущие спины находятся в быстром движении, а их суммарный спин, в свою очередь, определяет медленную спиновую релаксацию индивидуальных спинов ядер под влиянием слабых спин-спиновых взаимодействий, то возможно описание рассматриваемой системы моделью (5), которая допускает точное аналитическое решение.

2) Возможность построения точной аналитической теории формы линии ЯМР системы ядерных спинов в нанополостях позволяет проводить сопоставление теоретического расчета с данными эксперимента, что может служить методом контроля нанополостей в материале.

3) Приведенные в настоящей работе результаты для формы линии ЯМР при низких температурах позволяют по данным ЯМР судить о возможных типах упорядочения ядерных спинов в наноконтейнерах.

СПИСОК ЛИТЕРАТУРЫ

1. *Devis M.E.* // Nature. 2002. V. 417. P. 813.
2. *Показаньев В.Г., Скороцкий Г.В., Якуб Л.И.* // УФН. 1975. Т. 116. С. 485.
3. *Baugh J., Kleinhammes A., Han D. et al.* // Science. 2001. V. 294. P. 1505.
4. *Fel'dman E.B., Rudavets M.G.* // JETP. 2004. V. 98. P. 207.
5. *Fel'dman E.B., Rudavets M.G.* // JETP. Lett. 2002. V. 75. P. 635.
6. *Fel'dman E.B., Rudavets M.G.* // Chem. Phys. Lett. 2004. V. 396. P. 458.
7. *Кессель А.Р., Нигматуллин Р.Р., Хамзин А.А., Яковлева Н.А.* // ТМФ. 2005. Т. 145. С. 414.
8. *Хамзин А.А., Нигматуллин Р.Р.* // ТМФ. 2010. Т. 165. С. 160.
9. *Хамзин А.А., Нигматуллин Р.Р.* // ЖЭТФ. 2010. Т. 138. С. 1163.
10. *Абрагам А., Гольдман М.* Ядерный магнетизм: порядок и беспорядок: в 2 томах. М.: Мир, 1984.
11. *Гольдман М.* Спиновая температура и ЯМР в твердых телах. М.: Мир, 1972.
12. *Федорюк М.В.* Асимптотика: Интегралы и ряды. М.: Наука, 1987.
13. *Kubo R.* // Adv. Chem. Phys. 1969. V. 15. P. 101.